

7. 역상 크로마토그래피에서 칼럼충진제의 선택

소개

역상 크로마토그래피(ODS, C₁₈)는 높은 이론단수, 우수한 분리특성, 재현성, 사용의 용이함 때문에 HPLC에서 가장 공통적으로 널리 사용하는 방법입니다. 그러나 C₁₈칼럼에서 친유성 상호작용을 주 분리 목적으로 사용할 때는 친유성이 유사한 화합물의 경우 분리가 충분치가 않습니다. 이 시료의 경우 칼럼의 온도를 변화시키고, 용매를 바꾸거나 칼럼길이를 연장할 경우 어느 정도 분리를 개선할 수가 있습니다. 또한 친유성 상호작용을 2차 작용으로 분리를 목적으로 하는 시료는 충전물 크기가 다른 역상 칼럼을 사용할 경우 분리에 효과적입니다.

Nacalai Tesque는 여러 종류의 COSMOSIL 역상칼럼용 충전물을 공급합니다. 표1에는 충전물 종류와 시료가 고정상에 머무는 구조를 나타냅니다. 여러 고정상에 따른 화합물들이 머무는 것은 고정상과 시료의 상호작용의 원리에 의존합니다. 그러므로 여러 상호작용의 원리를 이해하면 적절한 칼럼을 선정하는데 유효합니다.

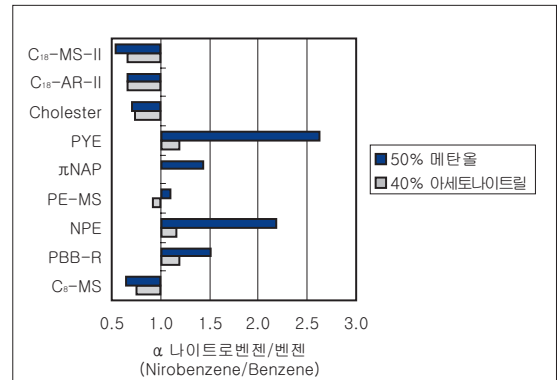
표. 고정상 및 충전물의 상호작용

충진물	C ₁₈ -MS-II	C ₁₈ -AR-II	C ₈ -MS	PE-MS	πNAP	PYE	NPE	PBB-R	Cholester
실리카겔	고순도 다공성 구형실리카								
평균입자크기	5 μm								
평균세공크기	거의 120 Å								
평균 표면적	거의 300 m ² /g								
고정상									
	오디에스 그룹	오디에스 그룹	옥틸 그룹	페닐에틸 그룹	나프틸에틸 그룹	피레닐에틸 그룹	니트로페닐에틸 그룹	펜타브로모벤질 그룹	콜레스터릴 그룹
본딩타입	모노머릭	폴리머릭	모노머릭	모노머릭	모노머릭	모노머릭	모노머릭	모노머릭	모노머릭
주 상호작용	친유성 상호작용	친유성 상호작용	친유성 상호작용	친유성 상호작용 π-π 상호작용	친유성 상호작용 π-π 상호작용	친유성 상호작용 π-π 상호작용 분산력 전하 전달 상호작용	친유성 상호작용 π-π 상호작용 쌍극-쌍극 상호작용	친유성 상호작용 분산력	친유성 상호작용 전하 전달 상호작용
엔드캡핑처리	거의 완벽한 처리								
탄소 함유량	거의 16%	거의 17%	거의 10%	거의 10%	거의 11%	거의 18%	거의 9%	거의 8%	거의 20%

1) 분리도 (selectivity, α)

분리도(α)

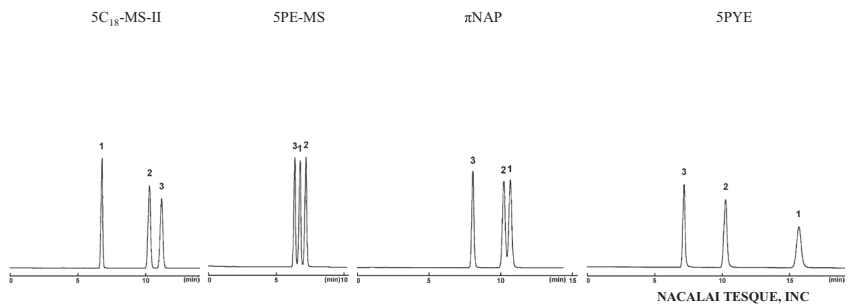
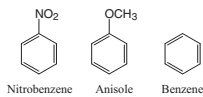
극성기 그룹을 갖는 시료의 분리도는 나이트로, 애니솔, 메톡시 (nitro, anisole, methoxy) 그룹을 갖는 벤젠, 나이트로벤젠 (benzene, nitrobenzene)을 얼마나 잘 분리가 되는가를 기초로 분리도를 평가합니다. 아래 크로마토그램은 세가지 화합물에 대해서 C₁₈-MS-II, PE-MS, π NAP, PYE의 네가지 칼럼들을 이용했을 때 분리되는 모습을 보여줍니다. C₁₈칼럼에서 시료용출 순서는 나이트로벤젠, 애니솔, 벤젠(nitrobenzene, anisole, benzene) 입니다. 고정상이 아로마틱(aromatic)칼럼에서 시료의 용출 순서는 반대로 입니다. C₁₈칼럼에서 분리되는 단지 친유성 상호작용을 이용하는 것을 기초로 합니다. 다시말하면 세가지 칼럼은 아로마틱 링(aromatic ring)을 고정상으로 갖고 있기 때문에 시료와 고정상과 π - π 상호작용에 의하여 시료의 용출 순서가 뒤바뀝니다. 아래 그림은 극성기 그룹을 갖는 시료의 분리도를 그래프를 보여줍니다. PYE, NPE칼럼을 포함하는 9개의 COSMOSIL칼럼들은 극성기 그룹을 갖는 시료의 분리도가 가장 높은 분리도 값을 갖습니다. π - π 상호작용을 이용할 때 용매는 아세트로나이트릴보다 메탄올이 분리에 효과적입니다.



극성기 그룹을 갖는 시료의 분리도

Column: 4.6mm I.D.-150mm
 Mobile phase: Methanol / H₂O = 50/50
 Flow rate: 1.0 ml/min
 Temperature: 30°C
 Detection: UV254nm

Sample: 1; Nitrobenzene (0.13 μ g)
 2; Anisole (1.5 μ g)
 3; Benzene (4.0 μ g)



응용 자료

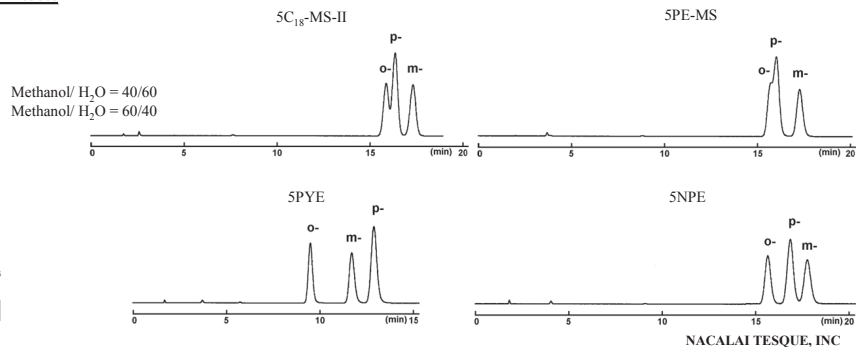
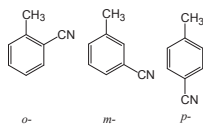
● 위치 이성질체(position isomers) 톨루나이트릴(tolunitrile) 분리

톨루나이트릴(tolunitrile)은 3개의 위치 이성질체를 갖고 있습니다. 기존의 C₁₈ 또는 PE-MS칼럼을 이용할 경우 π - π 상호작용이 너무 약하기 때문에 ortho 및 para의 이성질체는 분리가 어렵습니다. 그러나 이 이성질체들은 π - π 상호작용이 강한 PYE 또는 NPE칼럼으로 분리가 매우 잘 됩니다.

COSMOSIL Application Data

Column: 4.6mm I.D.-150mm
 Mobile phase: 5C₁₈-MS-II, 5PE-MS, 5NPE, 5PYE
 Flow rate: 1.0 ml/min
 Temperature: 30°C
 Detection: UV254nm

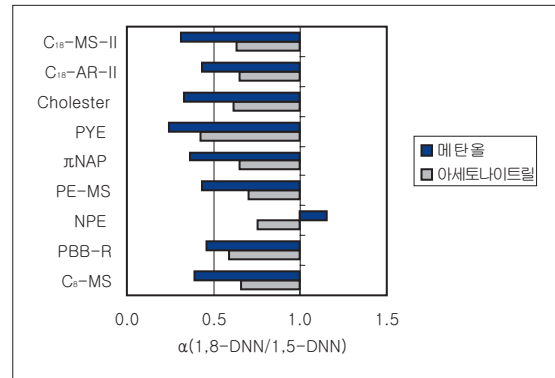
Sample: o-Tolunitrile (2.0 μ g)
 m-Tolunitrile (2.0 μ g)
 p-Tolunitrile (1.0 μ g)



2) 쌍극(dipole)구조를 갖는 시료의 분리도

분리도

쌍극(dipole)구조를 갖는 시료의 분리도는 시료 1,5-dinitronaphthalene과 1,8-dinitronaphthalene의 분리를 기초로 평가합니다. Dinitronaphthalenes (피크 1 과 2)는 dimethylnaphthalenes과 같이 π - π 상호작용이 크므로 PYE 과 NPE 칼럼에서 강하게 시료가 머물며, 1,8-dinitronaphthalene (피크 1)는 NPE 칼럼에 더 오래 머물고 1,5-dinitronaphthalene (피크 2)는 PYE 칼럼에 선택적으로 오래 머물기 때문에 이 두 칼럼은 차이가 있습니다. NPE 칼럼이 강한 쌍극 쌍극 상호작용(dipole-dipole interaction)을 표시합니다. 1,8-dinitronaphthalene에서 2개의 나이트로 그룹 쌍극은 1,5-dinitronaphthalene보다 nitrophenyl 그룹으로 본딩한 NPE칼럼에서 더 큰 쌍극 결합이 일렬로 이루어집니다.

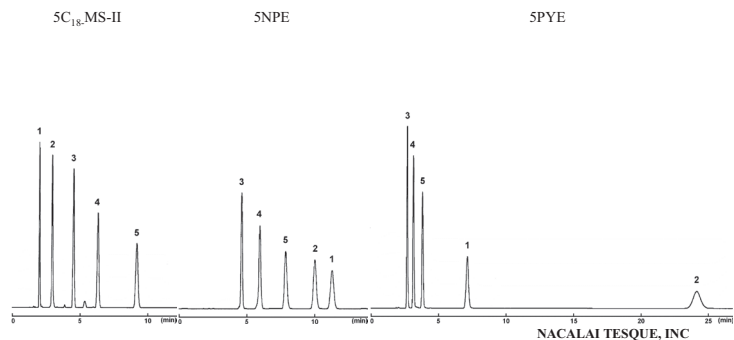
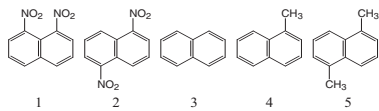


쌍극에 대한 선택도

Column size: 4.6mmI.D.-150mm
 Mobile phase: C₁₈-MS-II Methanol / H₂O = 80/20
 NPE Methanol / H₂O = 70/30
 PYE Methanol / H₂O = 90/10

Flow rate: 1.0 ml/min
 Temperature: 30°C
 Detection: UV254nm

Sample:
 1; 1,8-Dinitronaphthalene(1,8-DNN) (0.21 μ g)
 2; 1,5-Dinitronaphthalene(1,5-DNN) (0.11 μ g)
 3; Naphthalene (0.25 μ g)
 4; 1-Methylnaphthalene (0.35 μ g)
 5; 1,5-Dimethylnaphthalene (0.42 μ g)



응용 자료

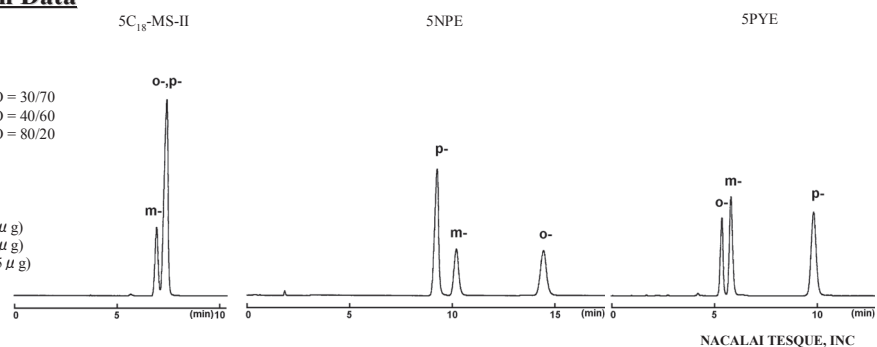
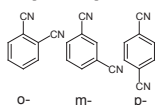
● 프탈로나이트릴(phthalonitrile)위치 이성질체 분리

프탈로나이트릴은 3개의 위치 이성질체를 갖습니다. NPE 또는 PYE 칼럼은 π - π 상호작용으로 3가지 위치 이성질체를 완벽하게 분리 합니다. 더구나 NPE 칼럼은 쌍극 쌍극 상호작용(dipole-dipole interaction)에 의해 o-phthalonitrile가 강하게 칼럼에 머물며, m-phthalonitrile가 중간, p-phthalonitrile가 약하게 칼럼에 머물며 분리됩니다.

COSMOSIL Application Data

Column: 4.6mmI.D.-150mm
 Mobile phase: 5C₁₈-MS-II Methanol/ H₂O = 30/70
 5NPE Methanol/ H₂O = 40/60
 5PYE Methanol/ H₂O = 80/20
 Flow rate: 1.0 ml/min
 Temperature: 30°C
 Detection: UV254nm

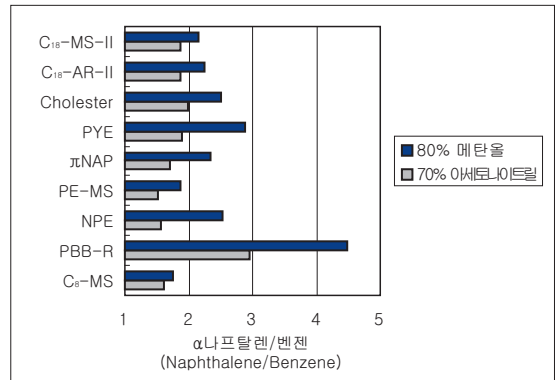
Sample:
 o-; Phthalonitrile (0.3 μ g)
 m-; Isophthalonitrile (3.0 μ g)
 p-; Terephthalonitrile (0.15 μ g)



3) 폴리아로마틱(polyaromatic)화합물의 분리도

분리도

폴리아로마틱 화합물의 분리도는 벤젠, 나프탈렌, 안트라센의 분리를 기초로 분리도를 평가합니다. 시료의 용출 순서는 모든 칼람이 같습니다(벤젠-나프탈렌-안트라센). 모든 칼람에서 아로마틱 링의 수의 증가에 따라 시료의 머무는 시간이 결정됩니다. 그러나 PBB-R 및 PYE와 같은 칼람은 분산력 상호작용으로 인해 폴리아로마틱 화합물은 강하게칼람에 머무는 것을 보여줍니다.

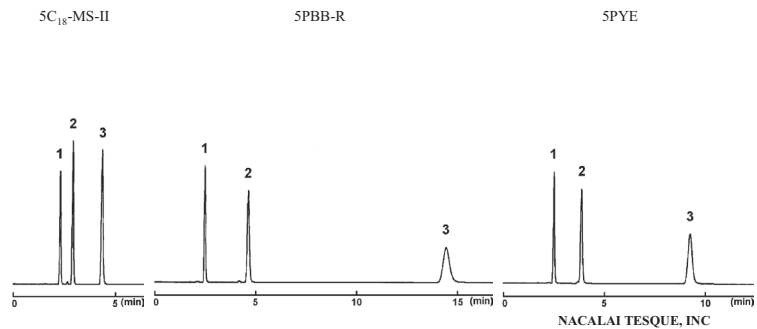
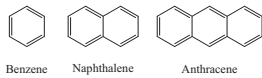


응용 자료

폴리아로마틱 화합물의 분리도

Column: 4.6mm I.D.-150mm
 Mobile phase: 5C₁₈-MS-II Methanol/H₂O = 90/10
 5PBB-R Methanol/H₂O = 90/10
 5PYE Methanol/H₂O = 80/20
 Flow rate: 1.0 ml/min
 Temperature: 30°C
 Detection: UV254nm

Sample: 1; Benzene (1.67 μg)
 2; Naphthalene (0.11 μg)
 3; Anthracene (0.0063 μg)



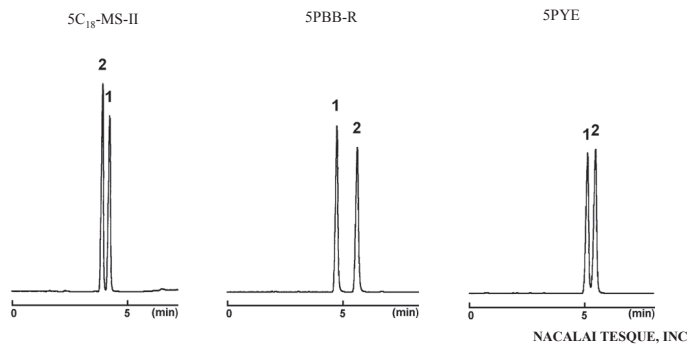
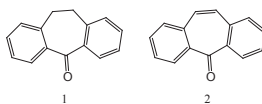
● dibenzosuberone 과 dibenzosuberone의 분리

C₁₈은 dibenzosuberone (피크 2)보다 dibenzosuberone (피크 1)오래 칼람에 머웁니다. 다시말하면 PBB-R 및 PYE 칼람은 π-전자 시스템을 갖는 dibenzosuberone (피크 2)이 dibenzosuberone (피크 1)보다 오래 머웁니다.

COSMOSIL Application Data

Column: 4.6mm I.D.-150mm
 Mobile phase: 5C₁₈-MS-II Methanol/H₂O = 80/20
 5PBB-R Methanol
 5PYE Methanol/H₂O = 90/10
 Flow rate: 1.0 ml/min
 Temperature: 30°C
 Detection: UV254nm

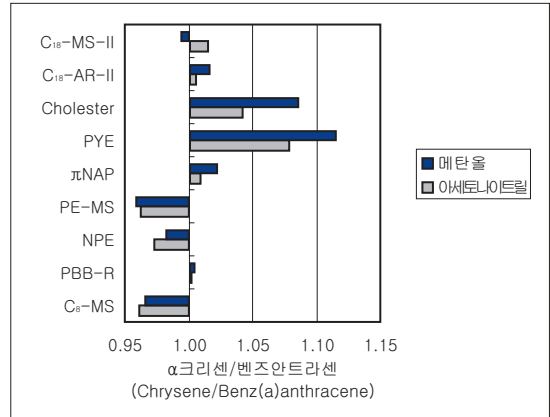
Sample: 1; Dibenzosuberone (0.1 μg)
 2; Dibenzosuberone (0.025 μg)



4) 분자 구조에 따른 분리도

분리도

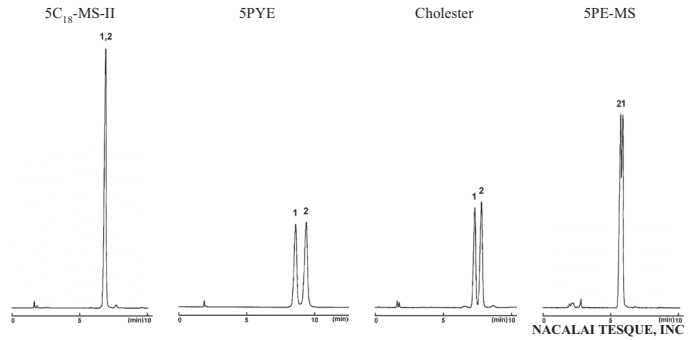
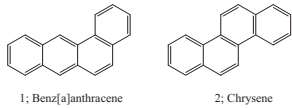
분자구조에 따른 분리도는 chrysene 와 benz[a]anthracene분리를 기초로 평가합니다. 4개의 벤젠 링(benzene rings)의 구조로 된 두개의 폴리아로마틱 하이드로카본(polyaromatic hydrocarbons)의 이성질체는 비슷한 친유성 과 방향족 성질을 갖기 때문에 분리가 어렵습니다. 그러나 PYE 와 Cholester 칼럼은 chrysene 과 benz[a]anthracene 같이 특이한 분자 구조의 화합물을 잘 분리할 수 있기 때문에 폴리아로마틱 하이드로카본 이성질체도 잘 분리할 수 있습니다.



분자구조에 따른 분리도

Column: 4.6mm I.D. - 150mm
 Mobile phase: 5C₁₈-MS-II, 5PYE, Cholester, 5PE-MS
 Methanol / H₂O = 90/10, Methanol, Methanol / H₂O = 80/20
 Flow rate: 1.0 ml/min
 Temperature: 30°C
 Detection: UV254nm

Sample: 1; Benz[a]anthracene (0.04µg)
 2; Chrysene (0.04µg)



응용 자료

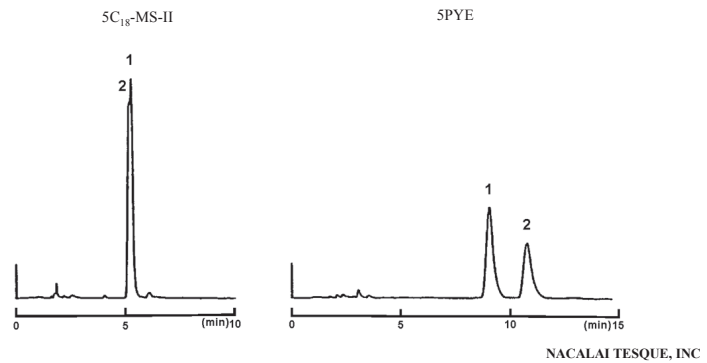
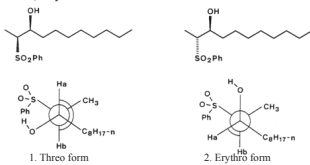
● 부분입체 이성질체(diastereomers) threo와 erythro의 분리

C₁₈ 칼럼은 threo와 erythro와 같은 부분입체 이성질체는 분리가 어렵습니다. PYE 칼럼은 threo구조보다 2차원 구조의 erythro가 칼럼에 오래 머뭅니다.

COSMOSIL Application Data

Column: 4.6mm I.D. - 150mm
 Mobile phase: Methanol / H₂O = 80/20
 Flow rate: 1.0 ml/min
 Temperature: 30°C
 Detection: UV254nm

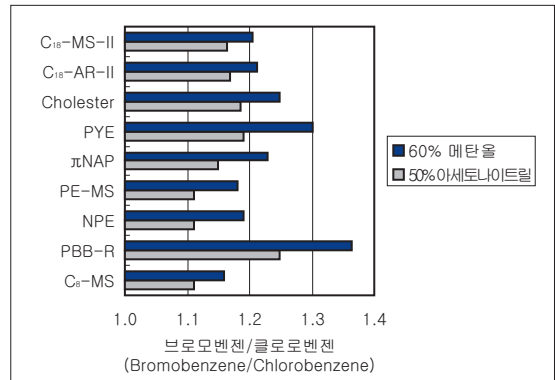
Sample: 1; Threo form
 2; Erythro form



5) 할로겐 화합물의 분리도

분리도

할로겐 화합물의 분리도는 클로로벤젠(chlorobenzene)과 브로모벤젠(bromobenzene)시료의 분리를 기초로 평가합니다. PBB-R 칼럼은 5개의 브로마인(bromine)원자가 분산력 힘에 의한 선택도 지수가 가장 높은 것을 보여줍니다.

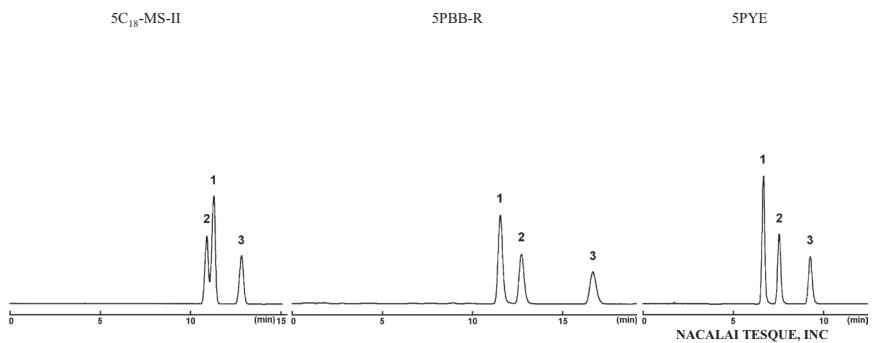
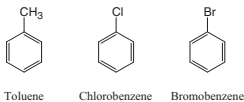


응용 자료

할로겐 화합물의 분리도

Column: 4.6mm I.D. - 150mm
 Mobile phase: Methanol/ H₂O = 60/40
 Flow rate: 1.0 ml/min
 Temperature: 30°C
 Detection: UV254nm

Sample: 1; Toluene (3.3µg)
 2; Chlorobenzene (3.3µg)
 3; Bromobenzene (3.3µg)

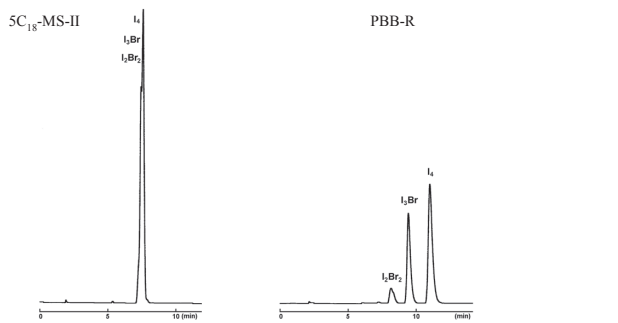
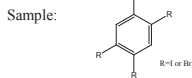


● 할로겐 교환 반응 물질(halogen exchange reaction products)의 분리도

PYE 와 PBB-R 칼럼은 브로마인(bromine)원자보다 분산된 요오드원자가 더 길기 때문에 칼럼에 머뭅니다. 그래서 PYE 와 PBB-R 칼럼은 구조가 복잡한 브로마인 과 요오드화합물을 잘 분리할 수 있지만 C₁₈칼럼은 분리를 할 수 없습니다.

COSMOSIL Application Data

Column: 4.6mm I.D. - 150mm
 Mobile phase: 5C₁₈-MS-II Methanol/ H₂O = 90/10
 PBB-R Methanol
 Flow rate: 1.0 ml/min
 Temperature: 30°C
 Detection: UV254nm



Sample courtesy of Dr.H.Yamamoto,RIKEN

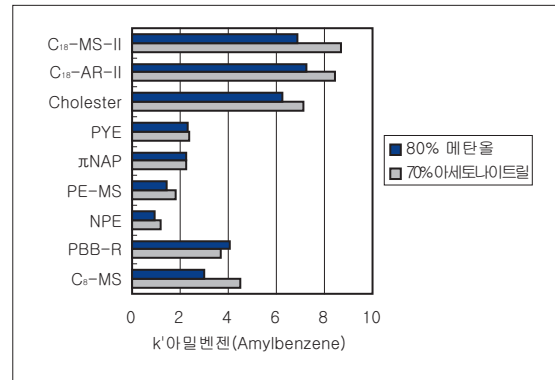
NACALAI TESQUE, INC

AP-1029

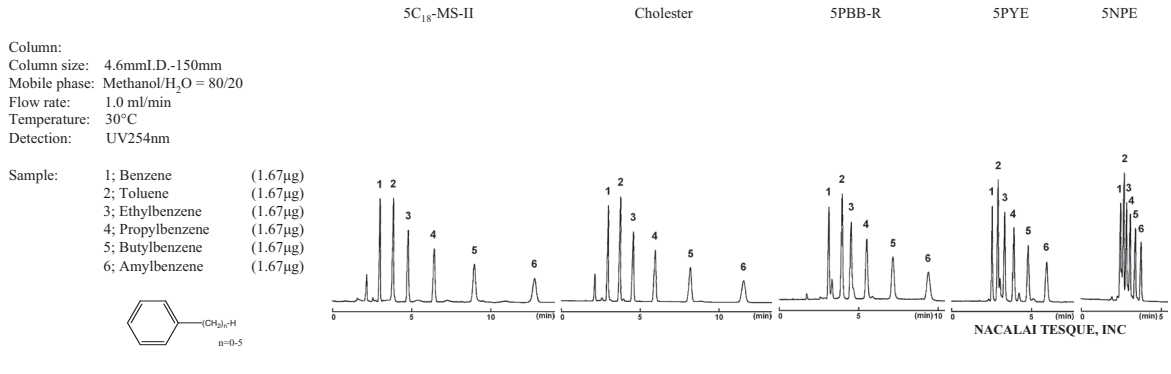
6) 친유성 화합물의 분리도

분리도

친유성 화합물의 분리도는 알킬벤젠의 분리를 기초로 분리도를 평가합니다. C₁₈과 Cholester 칼럼은 친유성 화합물의 분리도가 유사한 것을 보여줍니다. 다른 칼럼들은 C₁₈보다 친유성이 높은 화합물의 분리도가 낮은 것을 보여줍니다.



친유성이 높은 화합물의 분리도



역상 칼럼에서 이동상의 유기용매 농도가 낮을수록 시료가 오래 머뭅니다. NPE칼럼의 경우 메탄올 농도를 60%로 줄였을 때와 C₁₈칼럼에 80%농도로 했을 때 시료의 머무름 시간과 비슷하게 증가합니다.

머무름시간 조정

